





たいのは流体運動そのものによるために生ずるノイズであり、通常のノイズとは異なるため、このスムージング・フィルタを用いた。

### 3. 画像処理による流速分布の算定

#### (1) 砕波時の流速分布の測定

本研究ではこの画像処理法を用いて、まず砕波点での波の流速分布の算定を行った。解析には西村ら(1988)によって得られたビデオ・テープ・レコーダー(VTR)画像を用いた。この実験は1/20を有する2次元水路を用い、水深16.7cmの斜面法先で波高深比が0.34の孤立波を対象に行われている。撮影には高速VTRが使われ、このVTRの画像は220×190画素、毎秒1,000で撮影されている。ここでは解析に1/500秒の時間間隔を有する2枚の画像を用いた。この画像の一つを図-2に示す。この砕波瞬間の波の流速分布をフーリエ変換を用いた画像解析法により推定する。その結果を図-3に示す。このようにこの画像処理法によりほぼ流体内部

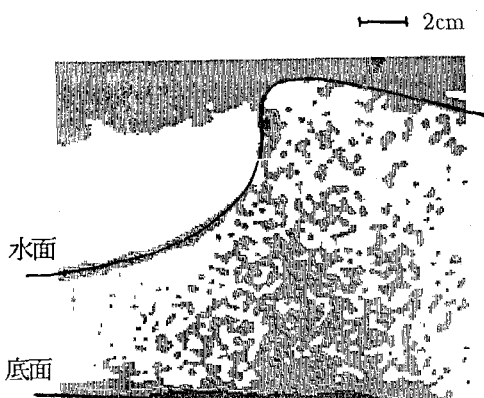


図-2 VTR 画像データ (西村・武若, 1988)

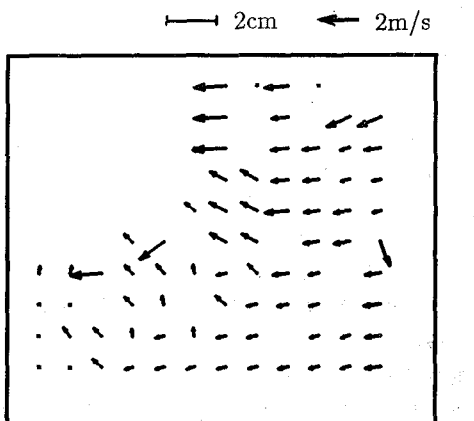


図-3 フーリエ変換を用いた画像処理解析法により算定された流速分布

全域において流速分布が比較的精度良く算定されている。しかし、波峰近傍の水面付近の流速ベクトルはそれほど高い精度では推定されていない。これは、前節(2)項で述べたように、画像処理対象となる小領域内の画像に運動している流体と静止している背景という2つの異なった移動速度を持った部分が存在するためである。そこで、ここでは前処理としてラプラスアン・フィルタを用いて水面の映像を強調し、水面近傍の水粒子の流速の算定を行ったのち、さらにその結果を図-3の結果と合成した。2節(1)項において図-1のピークの値がその推定された移動量の精度を表すことを述べたが、ここで行った2つの流速分布の算定結果の合成では、同一の点での算定ベクトルのうち、図-1に対応するピークの値が大きい方の流速ベクトルをより精度の高い算定結果として採用した。その結果を図-4に示す。この図から、特に波峰近傍での流速分布の算定結果が改善され、画面のほぼ全域で妥当な結果が得られたことがわかる。

#### (2) 連続画像撮影装置の開発

本研究で用いたフーリエ変換を用いる画像処理による流速分布の算定手法は、相関法と同様に、いかに連続した画像を得るかが高精度で流速分布の算定を行うカギとなる。とくに本研究で対象とした砕波現象のように高速で運動する流体を解析する場合、非常に短い時間間隔で画像撮影を行わなければならない。このため、通常市販されているVTRは毎秒30画面の撮影速度であるために使用できず、特殊な装置を用いなければならない。西村ら(1988)は高速VTRを用いて、また真野ら(1990)は高速カメラを用いてともに毎秒1,000画面の高速撮影を行っている。これに対して、長尾ら(1991)は特殊な装置を使わず、通常のカメラとストロボスコープを用いてトレーサーを含んだ流体の映像を重ねて撮影し、トレーサー法により流速分布の算定を行っている。しかしこ

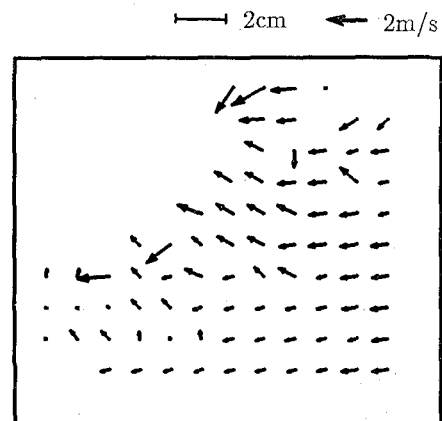


図-4 ラプラスアン・フィルタによる前処理した場合の結果と合成した流速分布

の方法ではトレーサーを流速算定の指標として用いていたために、トレーサー抽出が困難な碎波後の無数の気泡を含んだ流体内では適用できない。そこで本研究では安価で高速撮影可能な装置の開発を目的として、一眼レフカメラのシャッター幕の特性を利用した撮影装置の開発を行った。

一眼レフカメラはフィルムの前面にある2枚のシャッターマスクの移動開始時間のズレによってシャッタースピードを調整している。したがって、高いシャッタースピードで撮影したとき、この2枚のシャッターマスクはスリットを作り、フィルムの前面を高速で移動するようになる。この時ストロボスコープを点滅させていれば、このストロボスコープ発光時にスリットが位置している部分のフィルム部分だけに映像が記録される。この様子をストロ

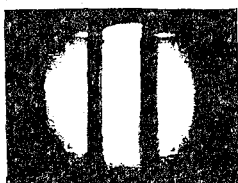


図-5 一眼レフカメラをストロボスコープに向けて撮影した映像（シャッタースピード 1/230, ストロボスコープ発光 25,000 pulse/min）

スコープに直接カメラを向けて撮影したのが図-5である。このようにこの原理を用いれば、時間的にわずかにずれた2枚の映像を撮影することができる。そして、この撮影される部分に同じ画像が写し込まれるようにカメラ前面に2枚の鏡をおいて調整した。この装置の全体像を図-6に示す。またこの装置により得られた碎波後の映像が図-7である。次に述べる碎波後の流速分布の算定にはこのシステムを用いて得られた画像データを用いる。

この方法は一般の実験装置で実現可能であるが、2枚の写真の時間間隔は使用する一眼レフカメラの性能によりほぼ決まってしまう。本研究で用いた撮影装置では6 msの時間間隔の映像を得ることになった。この時間間隔は後にも解析データを用いて示すが、本研究で対象としている碎波現象をとらえる上ではやや大きすぎる値である。

### (3) 碎波後の斜降渦の流速分布

先に述べた撮影装置を用いて、碎波後に生ずる気泡を含んだ斜降渦の様子を撮影し、フーリエ変換を用いた画像処理法により流速分布を算定する。実験は1/19の勾配を有する2次元水槽を用い、水深26 cmの碎波点から岸側約1 mの点で見られた斜降渦の様子を撮影した。その写真の一つを図-8に示す。この時、ストロボスコ

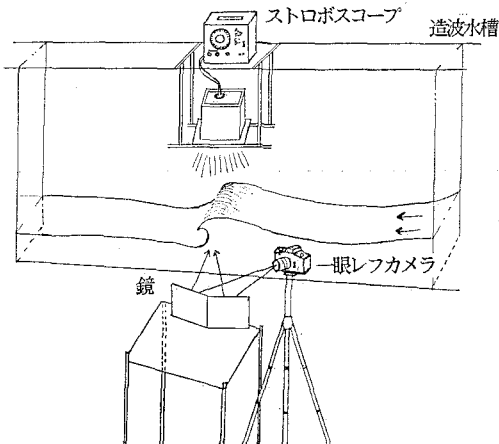


図-6 高速連続撮影装置の全体像

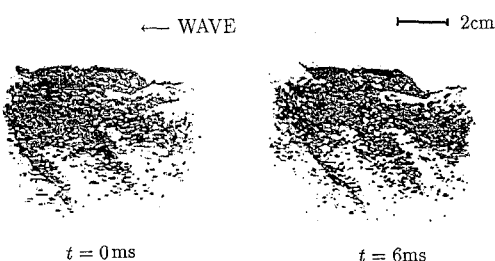


図-7 連続撮影された碎波後の気泡の運動（タイムラグ 6 ms）

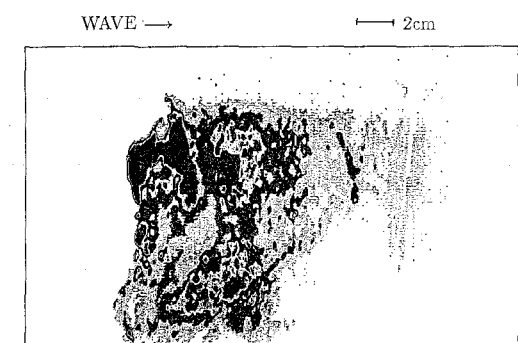


図-8 解析対象の斜降渦の映像

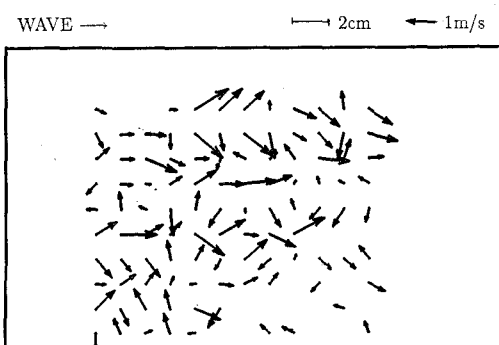


図-9 算定された斜降渦の流速分布

ープの前面にはスリットを取り付けた。したがってこの映像は斜降渦の断面内の様子を示している。

斜降渦は渦や乱れが強く、またこの測定装置で撮影される2枚の映像の時間間隔も対象とした流体運動の速度に比較して大きいために、この映像から直接フーリエ変換による画像処理方法を用いて流速分布を解析することはできなかった。そこでここではスムージング・フィルタを用いてこの画像に前処理を施し、その後にこの画像処理法を適応して瞬間流速分布を算定した。その結果を図-9に示す。この結果は大要的には気泡を含んだ斜降渦の様子をとらえているように見えるが、細かくみるとかなりの測定誤差を含んでおり、誤算定も見られる。この原因は撮影装置にあると思われる。すなわち問題点として、2枚の映像に時間間隔が碎波の流体運動に比べて大きすぎた点、そして撮影装置の奥行き方向の分解能がこの3次元流体運動の渦などの空長スケールよりも大きかった点などが上げられる。このように変化の激しい流体现象をとらえるにはまず2枚の映像の時間間隔をさらに小さくすることが必要である。また斜降渦のように3次元性の強い現象に対してはさらに幅の狭いスリット光を用いて、奥行きのない映像をとらえる必要がある。したがって、今後この画像処理方法を用いて精度の高い瞬間流速分布を得るためにその画像の撮影方法を改良する必要がある。

#### 4. 結 論

本研究では、フーリエ変換を用いた画像解析法を用いて流速分布を推定する方法を示し、さらに、この解析法

の適用範囲を広げるための前処理法としてラプラシアン・フィルタとスムージング・フィルタを取り上げた。これらのフィルタはそれぞれ水面近傍の流速の算定と、流体の回転運動や乱れなどを含む場合の流速の算定に有効であった。これらの画像処理法と前処理をもじいて、碎波点での碎波内部の流速分布と碎波後にみられる気泡を含んだ斜降渦の流速分布の測定を行った。この結果、これらの画像処理法と前処理の有効性が示されたが、一方でこれらの映像を得るための撮影法の改良の必要性が明らかにされた。

**謝 辞:** 貴重な画像データをこころよく本研究に提供していただいた東京工業大学工学部の武若聰助手に謝意を表します。また本研究は日産財団学術研究助成金によって行われたものであることを付記します。

#### 参 考 文 献

- 奥野武俊・木下民法 (1987): 画像解析を利用した流速測定の一手法、第4回流れの計測大阪シンポジウム論文要旨集, pp. 177-184.
- 長尾昌朋・片岡暁彦・沢本正樹 (1991): VTR 画像処理とトレーサ追跡法を組み合わせた碎波内部流速場の測定、第38回海岸工学論文集, pp. 56-60.
- 西村仁嗣・武若聰 (1988): VTR 画像の相関解析による碎波時内部流速分布の推定、第35回海岸工学講演会論文集, pp. 45-48.
- 眞野 明・神尾成也 (1990): 相関法による碎波気泡混入領域の流動解析、土木学会論文集、第423号/II-14, pp. 171-180.